

# Generalizaciones del modelo de Kitaev

## Fismat Days

Jorge Acuña Flores

Facultad de Matemáticas

17 de Diciembre de 2024

# Dos Tipos de Errores

Suponemos que cualquier error puede descomponerse en una suma de operadores de la forma  $cX^jZ^k$  con  $c \in \mathbb{C}$ ,  $j, k \in \{0, 1\}$  y  $X, Z$  las matrices de Pauli usuales. Por lo tanto, solo tenemos que estudiar dos tipos de errores, el tipo  $X$  y el tipo  $Z$ .



# Dos Tipos de Errores

Suponemos que cualquier error puede descomponerse en una suma de operadores de la forma  $cX^jZ^k$  con  $c \in \mathbb{C}$ ,  $j, k \in \{0, 1\}$  y  $X, Z$  las matrices de Pauli usuales. Por lo tanto, solo tenemos que estudiar dos tipos de errores, el tipo  $X$  y el tipo  $Z$ . De hecho, si  $|\psi\rangle = a|0\rangle + b|1\rangle$  es un estado general de un solo qubit, al aplicar  $X$  obtenemos el estado

$$X|\psi\rangle = a|1\rangle + b|0\rangle$$

es decir, se aplica una inversión de bit a nuestro estado.

## Dos Tipos de Errores

Suponemos que cualquier error puede descomponerse en una suma de operadores de la forma  $cX^jZ^k$  con  $c \in \mathbb{C}$ ,  $j, k \in \{0, 1\}$  y  $X, Z$  las matrices de Pauli usuales. Por lo tanto, solo tenemos que estudiar dos tipos de errores, el tipo  $X$  y el tipo  $Z$ . De hecho, si  $|\psi\rangle = a|0\rangle + b|1\rangle$  es un estado general de un solo qubit, al aplicar  $X$  obtenemos el estado

$$X|\psi\rangle = a|1\rangle + b|0\rangle$$

es decir, se aplica una inversión de bit a nuestro estado. Y si aplicamos  $Z$  obtenemos

$$Z|\psi\rangle = a|0\rangle - b|1\rangle$$

es decir, aplicamos una inversión de fase.

# Metodo de Estabilizadores

La idea es utilizar un conjunto de operadores (llamados estabilizadores) para detectar errores cuánticos. Los estabilizadores son operadores hermíticos que conmutan entre sí, es decir, si  $S_i$  y  $S_j$  son estabilizadores, entonces

$$[S_i, S_j] = 0$$

Denotamos el conjunto de estos operadores por  $\mathcal{S}$ .

# Metodo de Estabilizadores

La idea es utilizar un conjunto de operadores (llamados estabilizadores) para detectar errores cuánticos. Los estabilizadores son operadores hermíticos que conmutan entre sí, es decir, si  $S_i$  y  $S_j$  son estabilizadores, entonces

$$[S_i, S_j] = 0$$

Denotamos el conjunto de estos operadores por  $\mathcal{S}$ . Definimos el espacio protegido (denotado por  $\mathcal{C}$ ) como el subespacio común de autovector con autovalor  $+1$  de todos los operadores en el espacio de estabilizadores. Esto significa

$$\mathcal{C} = \{|\psi\rangle : S|\psi\rangle = |\psi\rangle; \forall S \in \mathcal{S}\}$$

Este espacio va a representar el espacio de información protegida de errores.

Una compuerta lógica  $L$  es un operador unitario que conmute con todos los estabilizadores. Note que si  $S$  es un estabilizador, entonces para todo  $|\psi\rangle$  en el espacio base

$$SL|\psi\rangle = LS|\psi\rangle = L|\psi\rangle$$

por lo que  $L|\psi\rangle$  está en el estado base.

Una compuerta lógica  $L$  es un operador unitario que conmute con todos los estabilizadores. Note que si  $S$  es un estabilizador, entonces para todo  $|\psi\rangle$  en el espacio base

$$SL|\psi\rangle = LS|\psi\rangle = L|\psi\rangle$$

por lo que  $L|\psi\rangle$  está en el estado base. Además, note que  $L|\psi\rangle = LS|\psi\rangle$ . Por lo tanto, podemos identificar  $L$  con  $LS$  donde  $S$  es un estabilizador arbitrario. El álgebra de operadores lógicos (denotada por  $\mathfrak{A}_{logical}$ ) será el álgebra generada por los cosets. Esta álgebra solo depende de la topología, y determinará el número de qubits que podemos proteger.

# Toric Code

Este modelo considera un retículo cuadrado de  $k \times k$  sobre un toro. Luego, colocamos un espín (o un qubit) a cada arista del retículo. Por lo tanto, tenemos  $n = 2k^2$  qubits.

Además, introducimos el concepto de *retículo dual*. Este es un retículo que conecta los centros de las caras.

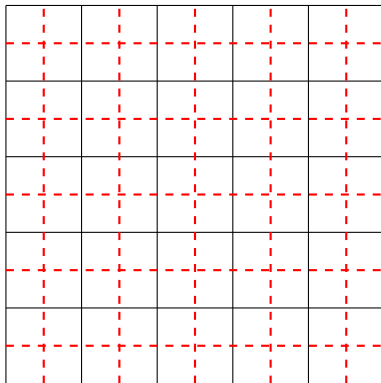


Figura: Retículo (en gris) y reticulado dual (en rojo)

Definimos dos operadores. Los operadores estrella  $A_v$  y los operadores plaqueta  $B_p$

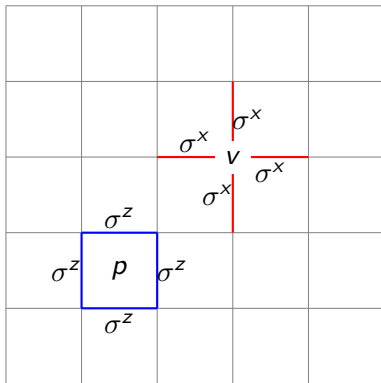


Figura: operadores  $A_v$  y  $B_p$

Y el Hamiltoniano  $H := -\sum_v A_v - \sum_p B_p$



La dimensión del espacio generado por los estados fundamentales es 4. Una base de este espacio es

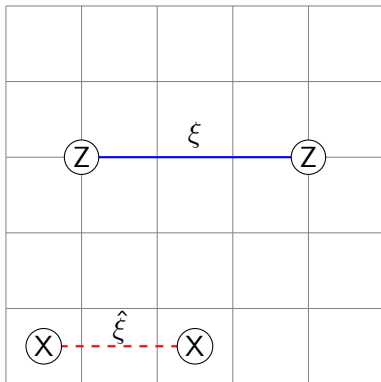
$$|\psi_1\rangle = \left| \begin{array}{cccc} \bullet & & & \\ \bullet & & & \\ \bullet & & & \\ \bullet & & & \end{array} \right\rangle + \left| \begin{array}{cccc} & \bullet & & \\ & \bullet & & \\ & \bullet & & \\ & \bullet & & \end{array} \right\rangle + \left| \begin{array}{cccc} & & \bullet & \\ & & \bullet & \\ & & \bullet & \\ & & \bullet & \end{array} \right\rangle + \left| \begin{array}{cccc} & & & \bullet \\ & & & \bullet \\ & & & \bullet \\ & & & \bullet \end{array} \right\rangle + \dots$$

$$|\psi_2\rangle = \left| \begin{array}{cccc} \bullet & \bullet & \bullet & \bullet \\ \bullet & \bullet & \bullet & \bullet \\ \bullet & \bullet & \bullet & \bullet \\ \bullet & \bullet & \bullet & \bullet \end{array} \right\rangle + \left| \begin{array}{cccc} & \bullet & & \\ & \bullet & & \\ & \bullet & & \\ & \bullet & & \end{array} \right\rangle + \left| \begin{array}{cccc} & & \bullet & \\ & & \bullet & \\ & & \bullet & \\ & & \bullet & \end{array} \right\rangle + \left| \begin{array}{cccc} & & & \bullet \\ & & & \bullet \\ & & & \bullet \\ & & & \bullet \end{array} \right\rangle + \dots$$

$$|\psi_3\rangle = \left| \begin{array}{cccc} \bullet & \bullet & \bullet & \bullet \\ \bullet & \bullet & \bullet & \bullet \\ \bullet & \bullet & \bullet & \bullet \\ \bullet & \bullet & \bullet & \bullet \end{array} \right\rangle + \left| \begin{array}{cccc} & \bullet & & \\ & \bullet & & \\ & \bullet & & \\ & \bullet & & \end{array} \right\rangle + \left| \begin{array}{cccc} & & \bullet & \\ & & \bullet & \\ & & \bullet & \\ & & \bullet & \end{array} \right\rangle + \left| \begin{array}{cccc} & & & \bullet \\ & & & \bullet \\ & & & \bullet \\ & & & \bullet \end{array} \right\rangle + \dots$$

$$|\psi_4\rangle = \left| \begin{array}{cccc} & & & \\ & & & \\ & & & \\ & & & \end{array} \right\rangle + \left| \begin{array}{cccc} & \bullet & & \\ & \bullet & & \\ & \bullet & & \\ & \bullet & & \end{array} \right\rangle + \left| \begin{array}{cccc} & & \bullet & \\ & & \bullet & \\ & & \bullet & \\ & & \bullet & \end{array} \right\rangle + \left| \begin{array}{cccc} & & & \bullet \\ & & & \bullet \\ & & & \bullet \\ & & & \bullet \end{array} \right\rangle + \dots$$

Estudiamos dos tipos de excitaciones. La de tipo  $Z$  generada por el operador  $F_{\xi}$  que aplica matrices  $\sigma^z$  a lo largo del camino  $\xi$ . Y la de tipo  $X$  creada por el operador  $F_{\hat{\xi}}$  que aplica matrices de tipo  $\sigma^x$  a lo largo de camino dual  $\hat{\xi}$  (esto significa que cada vez que el camino dual cruza una arista, en esa arista se aplica una matriz  $\sigma^x$ ).



Notar que  $F_\xi$  anticonmuta con  $A_{v_1}$  y  $A_{v_2}$  donde  $v_1, v_2$  son los extremos de  $\xi$ . Así, para un estado fundamental  $|\psi\rangle$

$$HF_\xi|\psi\rangle = F_\xi(H + 2A_{v_1} + 2A_{v_2})|\psi\rangle = (E_0 + 4)F_\xi|\psi\rangle$$

donde  $E_0$  es la energía de  $|\psi\rangle$ .

Notar que  $F_\xi$  anticonmuta con  $A_{v_1}$  y  $A_{v_2}$  donde  $v_1, v_2$  son los extremos de  $\xi$ . Así, para un estado fundamental  $|\psi\rangle$

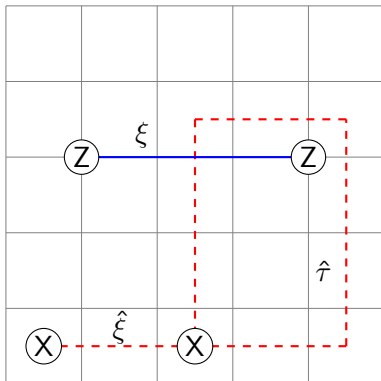
$$HF_\xi|\psi\rangle = F_\xi(H + 2A_{v_1} + 2A_{v_2})|\psi\rangle = (E_0 + 4)F_\xi|\psi\rangle$$

donde  $E_0$  es la energía de  $|\psi\rangle$ .

Análogamente para  $F_{\hat{\xi}}$  tenemos que

$$HF_{\hat{\xi}}|\psi\rangle = F_{\hat{\xi}}(H + 2B_{p_1} + 2B_{p_2})|\psi\rangle = (E_0 + 4)F_{\hat{\xi}}|\psi\rangle$$

Concatenando caminos, podemos mover una excitación alrededor de la otra



y obtenemos que

$$|\psi_{inicial}\rangle = -|\psi_{final}\rangle$$

# Complejos Simpliciales

Tomemos un lattice  $K$  de dimensión  $N$  y descompongámoslo como  $K = \sqcup_{n=0}^N K_n$ . Cada  $K_n$  contiene los  $n$ -simplexos del lattice ( $K_0$  son los vértices,  $K_1$  aristas,  $K_2$  triángulos, etc.). Sea  $C_n$  el grupo libre formado por  $K_n$ .

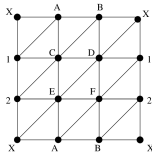


Figura: Triangulación de un Toro

# Complejos Simpliciales

Tomemos un lattice  $K$  de dimensión  $N$  y descompongámoslo como  $K = \sqcup_{n=0}^N K_n$ . Cada  $K_n$  contiene los  $n$ -simplexos del lattice ( $K_0$  son los vértices,  $K_1$  aristas,  $K_2$  triángulos, etc.). Sea  $C_n$  el grupo libre formado por  $K_n$ .

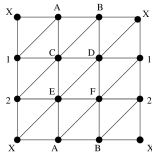


Figura: Triangulación de un Toro

También, consideramos el complejo de cadenas  $(G_\bullet, \partial_\bullet^G)$ . Esta es una secuencia de grupos abelianos finitos  $\{G_n\}_{n \in \mathbb{Z}}$  con morfismos de grupos  $\partial_n^G : G_n \rightarrow G_{n-1}$  tal que la composición de dos de estos morfismos es cero, ie.  $\partial_n^G \circ \partial_{n+1}^G = 0$ .

## Definición

Un  $p$ -mapa  $f : (C_\bullet, \partial_\bullet^C) \rightarrow (G_\bullet, \partial_\bullet^G)$  es una secuencia de morfismos  $f_n : C_n \rightarrow G_{n-p}$ .

El conjunto de todos los  $p$ -mapas, denotado por  $\text{hom}(C, G)^p$ , se define como sigue.

De manera diagramática, un elemento  $f$  de  $\text{hom}(C, G)^0$  puede ser representado por

$$\begin{array}{ccccccc} \cdots & \xrightarrow{\partial_{n+2}^C} & C_{n+1} & \xrightarrow{\partial_{n+1}^C} & C_n & \xrightarrow{\partial_n^C} & C_{n-1} \xrightarrow{\partial_{n-1}^C} \cdots \\ & & \downarrow f_{n+1} & & \downarrow f_n & & \downarrow f_{n-1} \\ \cdots & \xrightarrow{\partial_{n+2}^G} & G_{n+1} & \xrightarrow{\partial_{n+1}^G} & G_n & \xrightarrow{\partial_n^G} & G_{n-1} \xrightarrow{\partial_{n-1}^G} \cdots \end{array}$$



## Definición

Un  $p$ -mapa  $f : (C_\bullet, \partial_\bullet^C) \rightarrow (G_\bullet, \partial_\bullet^G)$  es una secuencia de morfismos  $f_n : C_n \rightarrow G_{n-p}$ .

El conjunto de todos los  $p$ -mapas, denotado por  $\text{hom}(C, G)^p$ , se define como sigue.

De manera diagramática, un elemento  $f$  de  $\text{hom}(C, G)^0$  puede ser representado por

$$\begin{array}{ccccccc} \cdots & \xrightarrow{\partial_{n+2}^C} & C_{n+1} & \xrightarrow{\partial_{n+1}^C} & C_n & \xrightarrow{\partial_n^C} & C_{n-1} \xrightarrow{\partial_{n-1}^C} \cdots \\ & & \downarrow f_{n+1} & & \downarrow f_n & & \downarrow f_{n-1} \\ \cdots & \xrightarrow{\partial_{n+2}^G} & G_{n+1} & \xrightarrow{\partial_{n+1}^G} & G_n & \xrightarrow{\partial_n^G} & G_{n-1} \xrightarrow{\partial_{n-1}^G} \cdots \end{array}$$

## Definición

Definimos  $\delta^p : \text{hom}(C, G)^p \rightarrow \text{hom}(C, G)^{p+1}$  que satisface

$$(\delta^p f)_n = f_{n-1} \partial_n^C - (-1)^p \partial_{n-p}^G f_n$$

Observa que  $(\text{hom}(C, G)^\bullet, \delta^\bullet)$  forma un complejo de co-cadenas:

$$\cdots \leftarrow \text{hom}(C, G)^{p+2} \xleftarrow{\delta^{p+1}} \text{hom}(C, G)^{p+1} \xleftarrow{\delta^p} \text{hom}(C, G)^p \leftarrow \cdots, \quad (1)$$

Los grupos de cohomología obtenidos de  $(\text{hom}(C, G)^\bullet, \delta^\bullet)$  son denotados por  $H^p(C, G) := \ker \delta^p / \text{im } \delta^{p-1}$

Definimos el  $p$ -mapa dual  $\gamma$  como una secuencia de morfismos  $\gamma_n : C_n \rightarrow \hat{G}_{n-p}$ . Denotamos el conjunto de todos los  $p$ -mapas duales como  $\text{hom}(C, G)_p$ .

### Definición

Definimos el adjunto de  $\partial_n^G$  como  $\hat{\partial}_n^G : \hat{G}_{n-1} \rightarrow \hat{G}_n$  donde  $\hat{\partial}_n^G(\alpha) = \alpha \circ \partial_n^G$ .

$$\begin{array}{ccccccc}
 \dots & \longleftarrow & C_{n+1} & \xleftarrow{\hat{\partial}_{n+1}^C} & C_n & \xleftarrow{\hat{\partial}_n^C} & C_{n-1} & \xleftarrow{\hat{\partial}_{n-1}^C} & \dots \\
 & \searrow & \gamma_{n+2} & \searrow & \gamma_{n+1} & \searrow & \gamma_n & \searrow & \gamma_{n-1} \\
 \dots & \longleftarrow & \hat{G}_{n+1} & \xleftarrow{\hat{\partial}_{n+1}^G} & \hat{G}_n & \xleftarrow{\hat{\partial}_n^G} & \hat{G}_{n-1} & \xleftarrow{\hat{\partial}_{n-1}^G} & \dots
 \end{array}$$

Definimos el  $p$ -mapa dual  $\gamma$  como una secuencia de morfismos  $\gamma_n : C_n \rightarrow \hat{G}_{n-p}$ . Denotamos el conjunto de todos los  $p$ -mapas duales como  $\text{hom}(C, G)_p$ .

### Definición

Definimos el adjunto de  $\partial_n^G$  como  $\hat{\partial}_n^G : \hat{G}_{n-1} \rightarrow \hat{G}_n$  donde  $\hat{\partial}_n^G(\alpha) = \alpha \circ \partial_n^G$ .

$$\begin{array}{ccccccc}
 \dots & \longleftarrow & C_{n+1} & \xleftarrow{\hat{\partial}_{n+1}^C} & C_n & \xleftarrow{\hat{\partial}_n^C} & C_{n-1} & \xleftarrow{\hat{\partial}_{n-1}^C} & \dots \\
 & \searrow & \gamma_{n+2} & & \searrow & \gamma_{n+1} & \searrow & \gamma_n & \searrow & \gamma_{n-1} \\
 & & & & & & & & & \\
 \dots & \longleftarrow & \hat{G}_{n+1} & \xleftarrow{\hat{\partial}_{n+1}^G} & \hat{G}_n & \xleftarrow{\hat{\partial}_n^G} & \hat{G}_{n-1} & \xleftarrow{\hat{\partial}_{n-1}^G} & \dots
 \end{array}$$

### Definición

Para  $\gamma \in \text{hom}(C, G)_p$ , definimos

$$(\delta_p \gamma)_n = (\gamma_{n+1} \circ \hat{\partial}_{n+1}^C) - (1)^p (\hat{\partial}_{n+1-p}^G \circ \gamma_n)$$

donde  $\hat{\partial}_n^C$  y  $\hat{\partial}_n^G$  son los adjuntos de  $\partial_n^C$  y  $\partial_n^G$  respectivamente.

Estos mapas hacen que  $(\text{hom}(C, G)_\bullet, \delta_\bullet)$  sea un complejo de cadenas.

$$\cdots \rightarrow \text{hom}(C, G)_{p+1} \xrightarrow{\delta_{p+1}} \text{hom}(C, G)_p \xrightarrow{\delta_p} \text{hom}(C, G)_{p-1} \rightarrow \cdots, \quad (2)$$

Definimos los grupos de homología como  $H_p(C, G) := \ker \delta_p / \text{im } \delta_{p+1}$ .

Sea  $f \in \text{hom}(C, G)^0$  y  $\gamma \in \text{hom}(C, G)_0$  (con al menos uno de ellos con soporte finito). Definimos

$$\gamma(f) := \prod_{x \in K} [\gamma(f)]_x$$

donde  $[\gamma(f)]_x := \gamma_n(x)(f_n(x))$  para  $x \in K_n$ .

Sea  $f \in \text{hom}(C, G)^0$  y  $\gamma \in \text{hom}(C, G)_0$  (con al menos uno de ellos con soporte finito). Definimos

$$\gamma(f) := \prod_{x \in K} [\gamma(f)]_x$$

donde  $[\gamma(f)]_x := \gamma_n(x)(f_n(x))$  para  $x \in K_n$ . Si  $f \in \text{hom}(C, G)^p$  y  $\gamma \in \text{hom}(C, G)_{p+1}$  con al menos uno de ellos con soporte finito, entonces

$$\gamma(\delta^p f) = (\delta_{p+1} \gamma)(f)$$

Para un  $x \in K_n$ , consideramos el espacio vectorial de dimensión finita  $\mathfrak{H}_x := L^2(G_n)$ . En este espacio, consideramos la base ortonormal  $\{|g\rangle\}_{g \in G_n}$ . Sea  $\Lambda$  un subconjunto finito de  $K$ , y lo denotaremos como  $\Lambda \subset_f K$ . Definimos

$$\mathfrak{H}_\Lambda := \bigotimes_{x \in \Lambda} \mathfrak{H}_x$$



Para un  $x \in K_n$ , consideramos el espacio vectorial de dimensión finita  $\mathfrak{H}_x := L^2(G_n)$ . En este espacio, consideramos la base ortonormal  $\{|g\rangle\}_{g \in G_n}$ . Sea  $\Lambda$  un subconjunto finito de  $K$ , y lo denotaremos como  $\Lambda \subset_f K$ . Definimos

$$\mathfrak{H}_\Lambda := \bigotimes_{x \in \Lambda} \mathfrak{H}_x$$

Definimos  $\mathfrak{A}_\Lambda := \mathcal{B}(\mathfrak{H}_\Lambda)$ , el espacio de operadores acotados sobre  $\mathfrak{H}_\Lambda$ . Si  $\Lambda_1 \subset \Lambda_2$ , existe una inclusión natural  $i_{\Lambda_2, \Lambda_1} : \mathfrak{A}_{\Lambda_1} \hookrightarrow \mathfrak{A}_{\Lambda_2}$  que mapea  $A \mapsto A \otimes I_{\Lambda_2 \setminus \Lambda_1}$ . Para esta red de álgebras, definimos el álgebra local de observables y el álgebra cuasi-local de observables como, respectivamente,

$$\mathfrak{A}_{loc} := \bigcup_{\Lambda \subset_f K} \mathfrak{A}_\Lambda, \quad \mathfrak{A} := \overline{\mathfrak{A}_{loc}}^{\|\cdot\|}$$

Para un  $x \in K_n$ , consideramos el espacio vectorial de dimensión finita  $\mathfrak{H}_x := L^2(G_n)$ . En este espacio, consideramos la base ortonormal  $\{|g\rangle\}_{g \in G_n}$ . Sea  $\Lambda$  un subconjunto finito de  $K$ , y lo denotaremos como  $\Lambda \subset_f K$ . Definimos

$$\mathfrak{H}_\Lambda := \bigotimes_{x \in \Lambda} \mathfrak{H}_x$$

Definimos  $\mathfrak{A}_\Lambda := \mathcal{B}(\mathfrak{H}_\Lambda)$ , el espacio de operadores acotados sobre  $\mathfrak{H}_\Lambda$ . Si  $\Lambda_1 \subset \Lambda_2$ , existe una inclusión natural  $i_{\Lambda_2, \Lambda_1} : \mathfrak{A}_{\Lambda_1} \hookrightarrow \mathfrak{A}_{\Lambda_2}$  que mapea  $A \mapsto A \otimes I_{\Lambda_2 \setminus \Lambda_1}$ . Para esta red de álgebras, definimos el álgebra local de observables y el álgebra cuasi-local de observables como, respectivamente,

$$\mathfrak{A}_{loc} := \bigcup_{\Lambda \subset_f K} \mathfrak{A}_\Lambda, \quad \mathfrak{A} := \overline{\mathfrak{A}_{loc}}^{\|\cdot\|}$$

Para  $A \in \mathcal{B}(\mathfrak{H}_x)$ , usamos la notación  $A_x$  para referirnos al operador correspondiente actuando en el sitio  $x$ .

Sea  $x \in K_n \subset K$ . Sea  $|h\rangle$  un elemento de  $\mathfrak{H}_x$ . Para  $g \in G_n$  y  $\gamma \in \hat{G}_n$ , definimos

$$P_g|h\rangle = |g + h\rangle \quad Q_\gamma|h\rangle = \gamma(h)|h\rangle$$

Sea  $x \in K_n \subset K$ . Sea  $|h\rangle$  un elemento de  $\mathfrak{H}_x$ . Para  $g \in G_n$  y  $\gamma \in \hat{G}_n$ , definimos

$$P_g|h\rangle = |g + h\rangle \quad Q_\gamma|h\rangle = \gamma(h)|h\rangle$$

Para  $t \in \text{hom}(C, G)_f^0$  y para  $\gamma \in \text{hom}(C, G)_0^f$ , definimos

$$P_t := \prod_{x \in K_n}^n (P_{f_n(x)})_x \quad Q_\gamma := \prod_{x \in K_n}^n (Q_{\gamma_n(x)})_x$$

donde  $(P_{f_n(x)})_x$  y  $(Q_{\gamma_n(x)})_x$  significa que estos operadores actúan solo sobre  $x$ .

Además, satisfacen que

$$Q_\gamma P_t = \gamma(t) P_t Q_\gamma$$

## Definición (Operadores Locales)

Sea  $x \in K_n$

$$A_x^0 := \frac{1}{|G_{n+1}|} \sum_{g \in G_{n+1}} P_{\delta^{-1}gx^*}$$

$$B_x^0 := \frac{1}{|G_{n-1}|} \sum_{\gamma \in \hat{G}_{n-1}} Q_{\delta_1 \gamma x^*}$$

donde  $gx^*$  es una asignación que asocia  $g$  con  $x$  y 0 con todos los demás elementos del complejo simplicial. Y  $\gamma x_*$  es un mapa dual que envía  $x$  a  $\gamma$  y 0 en otros casos.

## Definición (Operadores Locales)

Sea  $x \in K_n$

$$A_x^0 := \frac{1}{|G_{n+1}|} \sum_{g \in G_{n+1}} P_{\delta^{-1}gx^*} \quad B_x^0 := \frac{1}{|G_{n-1}|} \sum_{\gamma \in \hat{G}_{n-1}} Q_{\delta_1 \gamma x^*}$$

donde  $gx^*$  es una asignación que asocia  $g$  con  $x$  y 0 con todos los demás elementos del complejo simplicial. Y  $\gamma x_*$  es un mapa dual que envía  $x$  a  $\gamma$  y 0 en otros casos.

El Hamiltoniano local será

$$H_\Lambda := - \sum_{\substack{x \in K \\ \text{soporte } A_x^0 \subseteq \Lambda}} A_x^0 - \sum_{\substack{y \in K \\ \text{soporte } B_y^0 \subseteq \Lambda}} B_y^0$$

Y para  $A \in \mathfrak{A}_\Lambda$ , la derivación será

$$\delta(A) = \lim_{\Lambda \rightarrow K} i[H_\Lambda, A]$$

# Quantum Double Models

$$\begin{array}{ccccccc}
 0 & \longrightarrow & C_2 & \xrightarrow{\partial_2^C} & C_1 & \xrightarrow{\partial_1^C} & C_0 \xrightarrow{\partial_0^C} 0 \\
 & & \downarrow f_2 & & \downarrow f_1 & & \downarrow f_0 \\
 0 & \longrightarrow & G_2 & \xrightarrow{\partial_2^G} & G_1 & \xrightarrow{\partial_1^G} & G_0 \xrightarrow{\partial_0^G} 0
 \end{array}$$

acting over a localized vertex  $v \in K_0$  with  $h \in G_0$  and  $a, b, c, d \in G_1$

$$A_v^0 \left| \begin{array}{c} \text{---} \xrightarrow{d} \text{---} \\ \uparrow \text{---} \\ \text{---} \xrightarrow{c} \text{---} \\ \downarrow \text{---} \\ \text{---} \xrightarrow{a} \text{---} \\ \text{---} \xrightarrow{b} \text{---} \\ \text{---} \end{array} \right\rangle = \frac{1}{|G_1|} \sum_{g \in G_1} \left| \begin{array}{c} \text{---} \xrightarrow{d-g} \text{---} \\ \uparrow \text{---} \\ \text{---} \xrightarrow{e+g} \text{---} \\ \downarrow \text{---} \\ \text{---} \xrightarrow{a-g} \text{---} \\ \text{---} \xrightarrow{b+g} \text{---} \\ \text{---} \end{array} \right\rangle$$

acting over a localized link  $l \in K_1$  with  $\kappa \in G_1$  and  $a, b \in G_2$

$$A_l^0 \left| \begin{array}{c} \text{---} \xrightarrow{\quad} \text{---} \\ \text{---} \xrightarrow{\quad} \text{---} \\ \text{---} \xrightarrow{\quad} \text{---} \\ \text{---} \xrightarrow{\quad} \text{---} \\ \text{---} \xrightarrow{\quad} \text{---} \\ \text{---} \end{array} \right\rangle = \frac{1}{|G_2|} \sum_{h \in G_2} \left| \begin{array}{c} \text{---} \xrightarrow{\quad} \text{---} \\ \text{---} \xrightarrow{\quad} \text{---} \\ \text{---} \xrightarrow{\quad} \text{---} \\ \text{---} \xrightarrow{\quad} \text{---} \\ \text{---} \xrightarrow{\quad} \text{---} \\ \text{---} \end{array} \right\rangle$$

acting over a localized plaquette  $p \in K_2$  with  $g \in G_2$  and  $a, b, c \in G_1$

$$B_p^0 \left| \begin{array}{c} \text{triangle with vertices } \bullet, \bullet, \bullet \\ \text{edges } a, b, c \\ \text{center } \odot g \end{array} \right\rangle = \delta(-\partial_2^G p, a + b - c) \left| \begin{array}{c} \text{triangle with vertices } \bullet, \bullet, \bullet \\ \text{edges } a, b, c \\ \text{center } \odot g \end{array} \right\rangle$$

acting over a localized link  $l \in K_1$  with  $g \in G_1$  and  $a, b \in G_0$

$$B_l^0 \left| \begin{array}{c} \text{link } a \xrightarrow{g} b \\ \text{center } \odot g \end{array} \right\rangle = \delta(-\partial_1^G g, b - a) \left| \begin{array}{c} \text{link } a \xrightarrow{g} b \\ \text{center } \odot g \end{array} \right\rangle$$



# Ground States

Un estado en una álgebra  $C^*$  es un funcional lineal  $\omega : \mathfrak{A} \rightarrow \mathbb{C}$  que es positivo, es decir,  $\omega(AA^*) \geq 0$  y  $\omega(I) = 1$ .

Un estado fundamental es un estado tal que  $-i\omega(A^*\delta(A)) \geq 0$  para  $A$  en el álgebra local. Un estado  $\omega_0$  es un estado fundamental sin frustración si  $\omega_0(A_x^0) = \omega_0(B_y^0) = 1$ .

# Ground States

Un estado en una álgebra  $C^*$  es un funcional lineal  $\omega : \mathfrak{A} \rightarrow \mathbb{C}$  que es positivo, es decir,  $\omega(AA^*) \geq 0$  y  $\omega(I) = 1$ .

Un estado fundamental es un estado tal que  $-i\omega(A^*\delta(A)) \geq 0$  para  $A$  en el álgebra local. Un estado  $\omega_0$  es un estado fundamental sin frustración si  $\omega_0(A_x^0) = \omega_0(B_y^0) = 1$ .

## Proposición

Sea  $\omega_0$  un estado fundamental sin frustración. Entonces,  $\omega_0(P_{\delta^{-1}t} Q_{\delta_1 \gamma}) = 1$  para todo  $t \in \text{hom}(C, G)_f^{-1}$  y  $\gamma \in \text{hom}(C, G)_1^f$ .

# Ground States

Un estado en una álgebra  $C^*$  es un funcional lineal  $\omega : \mathfrak{A} \rightarrow \mathbb{C}$  que es positivo, es decir,  $\omega(AA^*) \geq 0$  y  $\omega(I) = 1$ .

Un estado fundamental es un estado tal que  $-i\omega(A^*\delta(A)) \geq 0$  para  $A$  en el álgebra local. Un estado  $\omega_0$  es un estado fundamental sin frustración si  $\omega_0(A_x^0) = \omega_0(B_y^0) = 1$ .

## Proposición

Sea  $\omega_0$  un estado fundamental sin frustración. Entonces,  $\omega_0(P_{\delta^{-1}t} Q_{\delta^1\gamma}) = 1$  para todo  $t \in \text{hom}(C, G)_f^{-1}$  y  $\gamma \in \text{hom}(C, G)_1^f$ .

## Definición

Definimos el álgebra  $C^*$   $\mathfrak{A}_{AB}$  como el álgebra  $C^*$  generada por los operadores  $P_{\delta^{-1}t}$  y  $Q_{\delta^1\gamma}$ .

En esta álgebra  $C^*$ , podemos definir un estado  $\omega : \mathfrak{A}_{AB} \rightarrow \mathbb{C}$  que satisface  $\omega(P_{\delta^{-1}t} Q_{\delta^1\gamma}) = 1$  para todo  $t \in \text{hom}(C, G)_f^{-1}$  y  $\gamma \in \text{hom}(C, G)_1^f$ . Este estado puede extenderse al álgebra  $\mathfrak{A}$ , y todas las extensiones son estados fundamentales:

## Lema

Sea  $\mathfrak{A}$  una  $C^*$ -álgebra,  $\omega : \mathfrak{A} \rightarrow \mathbb{C}$  un estado y  $U \in \mathfrak{A}$  un elemento unitario. Si  $|\omega(U)| = 1$ , entonces para cualquier  $Y \in \mathfrak{A}$  se cumple que

$$\omega(U)\omega(Y) = \omega(UY) = \omega(YU)$$

Los operadores  $P_t Q_\gamma$  son una base para el álgebra local. Por lo tanto, basta con mostrar cómo actúa  $\omega_0$  sobre  $P_t Q_\gamma$ .

Los operadores  $P_t Q_\gamma$  son una base para el álgebra local. Por lo tanto, basta con mostrar cómo actúa  $\omega_0$  sobre  $P_t Q_\gamma$ . Podemos demostrar que,

$$\omega_0(P_t Q_\gamma) = \delta_0 \gamma(-j) \omega_0(P_t Q_\gamma)$$

y esto ocurre para todo  $j \in \text{hom}(C, G)_f^{-1}$ . Entonces, si  $\delta_0 \gamma \neq 0$ , implica que  $\omega_0(P_t Q_\gamma) = 0$ .

Los operadores  $P_t Q_\gamma$  son una base para el álgebra local. Por lo tanto, basta con mostrar cómo actúa  $\omega_0$  sobre  $P_t Q_\gamma$ . Podemos demostrar que,

$$\omega_0(P_t Q_\gamma) = \delta_0 \gamma(-j) \omega_0(P_t Q_\gamma)$$

y esto ocurre para todo  $j \in \text{hom}(C, G)_f^{-1}$ . Entonces, si  $\delta_0 \gamma \neq 0$ , implica que  $\omega_0(P_t Q_\gamma) = 0$ . De manera análoga,

$$\omega_0(P_t Q_\gamma) = \alpha(\delta^0 t) \omega_0(P_t Q_\gamma)$$

para todo  $\alpha \in \text{hom}(C, G)_1^f$ . Entonces, si  $\delta^0 t \neq 0$ , implica que  $\omega_0(P_t Q_\gamma) = 0$ .

Los operadores  $P_t Q_\gamma$  son una base para el álgebra local. Por lo tanto, basta con mostrar cómo actúa  $\omega_0$  sobre  $P_t Q_\gamma$ . Podemos demostrar que,

$$\omega_0(P_t Q_\gamma) = \delta_0 \gamma(-j) \omega_0(P_t Q_\gamma)$$

y esto ocurre para todo  $j \in \text{hom}(C, G)_f^{-1}$ . Entonces, si  $\delta_0 \gamma \neq 0$ , implica que  $\omega_0(P_t Q_\gamma) = 0$ . De manera análoga,

$$\omega_0(P_t Q_\gamma) = \alpha(\delta^0 t) \omega_0(P_t Q_\gamma)$$

para todo  $\alpha \in \text{hom}(C, G)_1^f$ . Entonces, si  $\delta^0 t \neq 0$ , implica que  $\omega_0(P_t Q_\gamma) = 0$ . Además,

$$\omega_0(P_t Q_\gamma) = \omega_0(A_j P_t Q_\gamma B_\alpha) = \omega_0(P_{t+\delta^{-1}j} Q_{\gamma+\delta_1\alpha})$$

Por lo tanto, el estado fundamental depende de la clase de  $t$  en  $H^0(C, G)$  y de la clase de  $\gamma$  en  $H_0(C, G)$ .



Ahora, observemos que  $\mathfrak{A}'_{AB}$  es igual a la clausura de  $\text{span}\{P_t Q_\gamma; \text{ con } \delta^0 t = 0, \delta_0 \gamma = 0\}$ . Con esto, podemos ver que cualquier estado  $\tau$  en  $\mathfrak{A}'_{AB}$  que sea igual a  $\omega$  en  $\mathfrak{A}_{AB}$  puede extenderse de manera única a un estado  $\omega_0$  en  $\mathfrak{A}$ . Este estado es determinado de manera única por los valores en  $P_t Q_\gamma$ .

Ahora, observemos que  $\mathfrak{A}'_{AB}$  es igual a la clausura de  $\text{span}\{P_t Q_\gamma; \text{ con } \delta^0 t = 0, \delta_0 \gamma = 0\}$ . Con esto, podemos ver que cualquier estado  $\tau$  en  $\mathfrak{A}'_{AB}$  que sea igual a  $\omega$  en  $\mathfrak{A}_{AB}$  puede extenderse de manera única a un estado  $\omega_0$  en  $\mathfrak{A}$ . Este estado es determinado de manera única por los valores en  $P_t Q_\gamma$ . Si  $P_t Q_\gamma \in \mathfrak{A}'_{AB}$ , entonces  $\omega_0(P_t Q_\gamma) = \tau(P_t Q_\gamma)$ . Si  $P_t Q_\gamma \notin \mathfrak{A}'_{AB}$ , entonces  $\omega_0(P_t Q_\gamma) = 0$ .

Ahora, observemos que  $\mathfrak{A}'_{AB}$  es igual a la clausura de  $\text{span}\{P_t Q_\gamma; \text{ con } \delta^0 t = 0, \delta_0 \gamma = 0\}$ . Con esto, podemos ver que cualquier estado  $\tau$  en  $\mathfrak{A}'_{AB}$  que sea igual a  $\omega$  en  $\mathfrak{A}_{AB}$  puede extenderse de manera única a un estado  $\omega_0$  en  $\mathfrak{A}$ . Este estado es determinado de manera única por los valores en  $P_t Q_\gamma$ .

Si  $P_t Q_\gamma \in \mathfrak{A}'_{AB}$ , entonces  $\omega_0(P_t Q_\gamma) = \tau(P_t Q_\gamma)$ . Si  $P_t Q_\gamma \notin \mathfrak{A}'_{AB}$ , entonces  $\omega_0(P_t Q_\gamma) = 0$ .

En conclusión, existe una biyección entre los estados en  $\mathfrak{A}'_{AB}$  que se restringen a  $\omega$  en  $\mathfrak{A}_{AB}$  y los estados fundamentales sin frustración en  $\mathfrak{A}$  (ambos están determinados por los valores en  $P_t Q_\gamma$  con  $\delta^0 t = 0$  y  $\delta_0 \gamma = 0$ ).

Ahora, observemos que  $\mathfrak{A}'_{AB}$  es igual a la clausura de  $\text{span}\{P_t Q_\gamma; \text{ con } \delta^0 t = 0, \delta_0 \gamma = 0\}$ . Con esto, podemos ver que cualquier estado  $\tau$  en  $\mathfrak{A}'_{AB}$  que sea igual a  $\omega$  en  $\mathfrak{A}_{AB}$  puede extenderse de manera única a un estado  $\omega_0$  en  $\mathfrak{A}$ . Este estado es determinado de manera única por los valores en  $P_t Q_\gamma$ .

Si  $P_t Q_\gamma \in \mathfrak{A}'_{AB}$ , entonces  $\omega_0(P_t Q_\gamma) = \tau(P_t Q_\gamma)$ . Si  $P_t Q_\gamma \notin \mathfrak{A}'_{AB}$ , entonces  $\omega_0(P_t Q_\gamma) = 0$ .

En conclusión, existe una biyección entre los estados en  $\mathfrak{A}'_{AB}$  que se restringen a  $\omega$  en  $\mathfrak{A}_{AB}$  y los estados fundamentales sin frustración en  $\mathfrak{A}$  (ambos están determinados por los valores en  $P_t Q_\gamma$  con  $\delta^0 t = 0$  y  $\delta_0 \gamma = 0$ ).

Ahora, denote por

$J := \overline{\text{span}\{P_t Q_\gamma - P_{t+\delta^{-1}j} Q_{\gamma+\delta_1 \alpha}; \delta^0 t = 0, \delta_0 \gamma = 0\}}$ .  $J$  es un ideal en  $\mathfrak{A}'_{AB}$ .

Definimos  $\mathfrak{A}_{\text{logical}} := \mathfrak{A}'_{AB}/J$ .

## Teorema

*Los estados fundamentales sin frustración están en una biyección uno a uno con los estados en  $\mathcal{A}_{\text{logical}}$ .*

Observa que dos productos  $P_t Q_\gamma$  y  $P_{t'} Q_{\gamma'}$  se mapean al mismo elemento en  $\mathfrak{A}_{logical}$  si y solo si  $t, t'$  están en la clase de  $H^0$ , y  $\gamma, \gamma'$  están en la misma clase de  $H_0$ . Por lo tanto, podemos denotar ese elemento en  $\mathfrak{A}_{logical}$  por  $P_{[t]} Q_{[\gamma]}$ .

Observa que dos productos  $P_t Q_\gamma$  y  $P_{t'} Q_{\gamma'}$  se mapean al mismo elemento en  $\mathfrak{A}_{logical}$  si y solo si  $t, t'$  están en la clase de  $H^0$ , y  $\gamma, \gamma'$  están en la misma clase de  $H_0$ . Por lo tanto, podemos denotar ese elemento en  $\mathfrak{A}_{logical}$  por  $P_{[t]} Q_{[\gamma]}$ . Usando que

$$(P_{[t]} Q_{[\gamma]}) (P_{[s]} Q_{[\alpha]}) = \gamma(s) P_{[t+s]} Q_{[\gamma+\alpha]}$$

podemos ver a  $\mathfrak{A}_{logical}$  como un álgebra de relaciones canónicas de conmutación.

Observa que dos productos  $P_t Q_\gamma$  y  $P_{t'} Q_{\gamma'}$  se mapean al mismo elemento en  $\mathfrak{A}_{logical}$  si y solo si  $t, t'$  están en la clase de  $H^0$ , y  $\gamma, \gamma'$  están en la misma clase de  $H_0$ . Por lo tanto, podemos denotar ese elemento en  $\mathfrak{A}_{logical}$  por  $P_{[t]} Q_{[\gamma]}$ . Usando que

$$(P_{[t]} Q_{[\gamma]}) (P_{[s]} Q_{[\alpha]}) = \gamma(s) P_{[t+s]} Q_{[\gamma+\alpha]}$$

podemos ver a  $\mathfrak{A}_{logical}$  como un álgebra de relaciones canónicas de conmutación.

El espacio  $H := H^0 \times H_0$  caracteriza el espacio de estados fundamentales, en el sentido de que cada estado fundamental  $\omega_0$  está completamente determinado por el valor que toma en los operadores de la forma  $P_{[t]} Q_{[\gamma]}$  con  $[t] \in H^0$  y  $[\gamma] \in H_0$ .



## Lemma

Sea  $H := H^0 \times H_0$ . Sea  $(\cdot, \cdot) : H \times H \rightarrow S^1$  tal que

$$(([t], [\gamma]), ([s], [\alpha])) = \gamma(s)$$

Para cada  $h \in H$ , sea  $W(h)$  el operador que actúa sobre  $L^2(H)$  como  $W(h)|h'\rangle = (h, h')|h + h'\rangle$ . Sea  $\mathfrak{A} \leq \mathcal{B}(L^2(H))$  el álgebra de  $C^*$  generada por los operadores  $W(h)$ . Sea

$$S := \{h \in H \mid \forall h' \in H, (h, h') = (h', h)\}$$

y definimos  $c = \log_2 |S|$ ,  $q = \frac{1}{2} \log_2 \frac{|H|}{|S|}$ . Entonces,

$$\mathfrak{A}_{\text{logical}} \cong \mathbb{C}^{2^c} \otimes \mathcal{B}(\mathbb{C}^{2^q}) \quad (3)$$

Definimos una combinación de una excitación de tipo  $t \in \text{hom}(C, G)^0$  con una de tipo  $\gamma \in \text{hom}(C, G)_0$  como

$$\rho_{t,\gamma}(A) := \lim_{J \rightarrow K} Q_{\gamma_J} P_{t_J} A P_{t_J}^* Q_{\gamma_J}^*$$

Para un estado fundamental sin frustración  $\omega_0$ , definimos

$$\omega_{t,\gamma} := \omega_0 \circ \rho_{t,\gamma}$$

Definimos una combinación de una excitación de tipo  $t \in \text{hom}(C, G)^0$  con una de tipo  $\gamma \in \text{hom}(C, G)_0$  como

$$\rho_{t,\gamma}(A) := \lim_{J \rightarrow K} Q_{\gamma_J} P_{t_J} A P_{t_J}^* Q_{\gamma_J}^*$$

Para un estado fundamental sin frustración  $\omega_0$ , definimos

$$\omega_{t,\gamma} := \omega_0 \circ \rho_{t,\gamma}$$

## Teorema

Sea  $t, t' \in \text{hom}(C, G)^0$  y  $\gamma, \gamma' \in \text{hom}(C, G)_0$ . Luego  $\omega_{t,\gamma} = \omega_{t',\gamma'}$  si y sólo si  $\gamma(l) = \gamma'(l)$  para todo  $l \in \ker(\delta^0)$  con soporte finito y  $\chi(t) = \chi(t')$  para todo  $\chi \in \ker(\delta_0)$  con soporte finito.

Tomemos dos endomorfismos  $\rho$  y  $\rho'$ . Definimos un entrelazador de  $\rho$  a  $\rho'$  como un operador  $T$  tal que,

$$T : T\rho(A) = \rho'(A)T, \quad \forall A \in \mathfrak{A}$$

### Teorema (Entrelazadores)

Sea  $t, t' \in \text{hom}(C, G)^0$  y  $\gamma, \gamma' \in \text{hom}(C, G)_0$  tales que existen  $\hat{t} \in \text{hom}(C, G)_f^0$ ,  $\bar{t} \in \text{hom}(C, G)^{-1}$  y  $\hat{\gamma} \in \text{hom}(C, G)_0^f$ ,  $\bar{\gamma} \in \text{hom}(C, G)_1$  con

$$t' = t - \hat{t} + \delta^{-1}\bar{t}$$

$$\gamma' = \gamma - \hat{\gamma} + \delta_1\bar{\gamma}$$

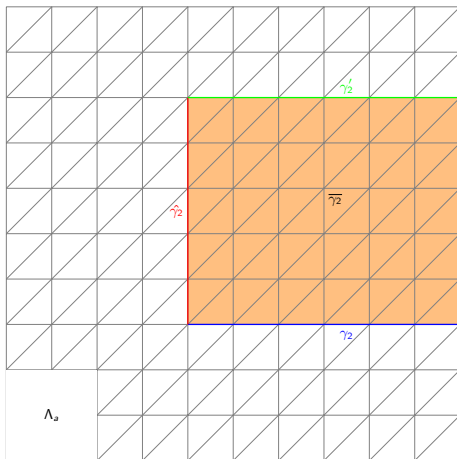
Entonces existe un entrelazador unitario  $V$  de  $\rho_{t,\gamma}$  a  $\rho_{t',\gamma'}$  tal que  $Q_{\hat{\gamma}}P_{\hat{t}}V\Omega_0 = \Omega_0$

Además,

$$V_J := P_{-\hat{t}}P_{\delta^{-1}\bar{t}_J}Q_{-\hat{\gamma}}Q_{\delta_1(\bar{\gamma}_J)}$$

converge en la topología fuerte a  $V$  cuando  $J \rightarrow K$ .

# Ejemplo Intertwiner



## Definition

El braiding es un entrelazador de  $\rho_1 \circ \rho_2$  a  $\rho_2 \circ \rho_1$

## Definition

El braiding es un entrelazador de  $\rho_1 \circ \rho_2$  a  $\rho_2 \circ \rho_1$

Ahora queremos definir un entrelazador de  $\rho_{t_1, \gamma_1} \circ \rho_{t_2, \gamma_2}$  a  $\rho_{t_2, \gamma_2} \circ \rho_{t_1, \gamma_1}$ . Esto se puede hacer mediante

$$\varepsilon_{(t_1, \gamma_1), (t_2, \gamma_2)}(I, V_2) := \lim_{J \rightarrow K} V_2^* \rho_{t_1, \gamma_1}(V_2, J)$$

donde  $V_2$  es un entrelazador de  $\rho_{t_2, \gamma_2}$  a  $\rho_{t'_2, \gamma'_2}$  como en el teorema anterior.

## Definition

El braiding es un entrelazador de  $\rho_1 \circ \rho_2$  a  $\rho_2 \circ \rho_1$

Ahora queremos definir un entrelazador de  $\rho_{t_1, \gamma_1} \circ \rho_{t_2, \gamma_2}$  a  $\rho_{t_2, \gamma_2} \circ \rho_{t_1, \gamma_1}$ . Esto se puede hacer mediante

$$\varepsilon_{(t_1, \gamma_1), (t_2, \gamma_2)}(I, V_2) := \lim_{J \rightarrow K} V_2^* \rho_{t_1, \gamma_1}(V_2, J)$$

donde  $V_2$  es un entrelazador de  $\rho_{t_2, \gamma_2}$  a  $\rho_{t'_2, \gamma'_2}$  como en el teorema anterior.

Este límite existe en la topología fuerte y es igual a  $cI$  donde

$$c = \hat{\gamma}_2(t_1) \overline{\hat{\gamma}_2}(-\delta^0 t_1) \gamma_1(-\hat{t}_2) \delta_0 \gamma_1(\overline{t_2})$$



## Proposición

Sea  $\hat{s}_2 \in \text{hom}(C, G)_f^0$ ,  $\bar{s}_2 \in \text{hom}(C, G)^{-1}$  tal que

$$s_2 = t_2 - \hat{s}_2 + \delta^{-1}\bar{s}_2$$

Sea  $\hat{\alpha}_2 \in \text{hom}(C, G)_0^f$ ,  $\bar{\alpha}_2 \in \text{hom}(C, G)_1$  con

$$\alpha_2 = \gamma_2 - \hat{\alpha}_2 + \delta_1\bar{\alpha}_2$$

Si  $\text{supp}(\delta_0\gamma_1) \cap \text{supp}(\bar{t}_2 - \bar{s}_2) = \emptyset = \text{supp}(\delta^0 t_1) \cap \text{supp}(\bar{\gamma}_2 - \bar{\alpha}_2)$ ,  
 $\gamma_1(-\hat{s}_2) = \gamma_1(-\hat{t}_2)$  y  $\hat{\gamma}_2(t_1) = \hat{\alpha}_2(t_1)$  entonces

$$\varepsilon_{(t_1, \gamma_1), (t_2, \gamma_2)}(I, V_2) = \varepsilon_{(t_1, \gamma_1), (t_2, \gamma_2)}(I, \tilde{V}_2)$$

donde  $\tilde{V}_2$  es un entrelazador de  $\rho_{t_2, \gamma_2}$  a  $\rho_{s_2, \alpha_2}$

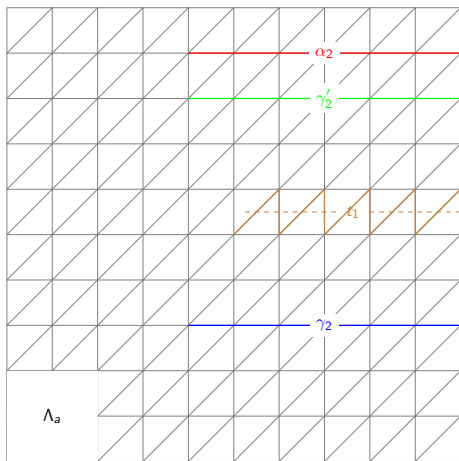


Figura:  $\gamma'_2$  y  $\alpha_2$  generan el mismo braiding

# Ejemplo

ya que

